

КРАЕВЫЕ ЗАДАЧИ ТЕОРИИ УПРУГОСТИ ДЛЯ ОРТОТРОПНОЙ ПОЛУПЛОСКОСТИ, ОСЛАБЛЕННОЙ ЭЛЛИПТИЧЕСКИМ ОТВЕРСТИЕМ

Имеется лишь небольшое число публикаций, ориентированных на построение новых и развитие имеющихся аналитических методов исследования задач теории упругости для многосвязных ортотропных тел. Это обстоятельство связано с существенными математическими трудностями построения эффективных методов точной реализации граничных условий исходных краевых задач.

Актуальность соответствующих исследований для инженерных применений определяется тем, что в вопросах прочности материалов и элементов конструкций используют в основном информацию о напряженно-деформированном состоянии вблизи отверстий, разрезов (трещин), включений и т.д. Получение достоверной и полной информации о распределении напряжений в указанных локальных зонах непосредственно связано с использованием аналитических методов решения краевых задач теории упругости. В обзорных статьях [1, 2] с достаточной полнотой представлена история проблемы исследования закономерностей напряженного состояния в анизотропных телах.

Предлагаемый в данной работе аналитический подход основан на представлении общих решений уравнений равновесия в напряжениях и перемещениях через две гармонические функции [3, 4] и использовании соотношений между базисными гармоническими функциями в декартовых и эллиптических системах координат. Реализация граничных условий основных краевых задач приводит к бесконечным системам линейных алгебраических уравнений второго рода с экспоненциально убывающими матричными коэффициентами, что позволяет провести эффективный анализ напряженного состояния вблизи концентраторов напряжений. В предельном случае, когда полуплоскость ослаблена поперечным разрезом, удается получить простые асимптотические формулы для коэффициентов интенсивности нормальных напряжений.

Пусть δ_1, δ_2 ($\delta_j > 0$) – безразмерные величины, определяемые формулами

$$\delta_1^2 + \delta_2^2 = \omega = \frac{E_1}{G_{12}} - 2\nu_{12}; \quad \delta_1^2 \delta_2^2 = \gamma = \frac{E_1}{E_2} \quad (\omega > 0, \omega^2 - 4\gamma \geq 0),$$

где $E_1 = E_x$, $E_2 = E_y$ – модули упругости материала на растяжение (сжатие) в направлении осей x и y ; $G_{12} = G_{xy}$ – модуль сдвига в плоскости Oxy ; $\nu_{12} = \nu_{xy}$ – коэффициент Пуассона. В силу симметрии этих

формул относительно δ_1, δ_2 имеем

$$\left\{ \begin{array}{l} \delta_1 \\ \delta_2 \end{array} \right\} = \sqrt{\frac{\omega \pm \sqrt{\omega^2 - 4\gamma}}{2}} \quad \text{либо} \quad \left\{ \begin{array}{l} \delta_1 \\ \delta_2 \end{array} \right\} = \sqrt{\frac{\omega \mp \sqrt{\omega^2 - 4\gamma}}{2}}.$$

Частные решения двумерных однородных уравнений равновесия ортотропных в осях x и y пластин представим в виде [3, 4]

$$\tau_{xy}^{(j)} = -\frac{a}{\delta_j} \frac{\partial I_j}{\partial y} = -a \frac{\partial I_j}{\partial y_j}, \quad \sigma_x^{(j)} = -a \delta_j \frac{\partial I_j}{\partial x}, \quad \sigma_y^{(j)} = \frac{a}{\delta_j} \frac{\partial I_j}{\partial x} = -\delta_j^{-2} \sigma_x^{(j)}; \quad (1)$$

$$u_x^{(j)} = -\frac{a(\delta_j^2 + \nu_{12})}{\delta_j E_1} I_j, \quad u_y^{(j)} = \frac{a(\delta_{3-j}^2 + \nu_{12})}{E_1} \int \frac{\partial I_j}{\partial x} dy_j \quad (j=1, 2), \quad (2)$$

где $I_j = I_j(x, y_j)$ – гармонические функции переменных $x, y_j = \delta_j y$; a – размерный параметр, определяемый выбором исходной криволинейной системы координат. Заметим, что в формулах (2) I_j и $\int \frac{\partial I_j}{\partial x} dy_j$ – сопряженные гармонические функции переменных x, y_j .

Положим

$$\tau_{xy} = \tau_{xy}^{(1)} + \tau_{xy}^{(2)}, \quad \sigma_x = \sigma_x^{(1)} + \sigma_x^{(2)}, \quad \sigma_y = \sigma_y^{(1)} + \sigma_y^{(2)}; \quad u_x = u_x^{(1)} + u_x^{(2)}, \quad u_y = u_y^{(1)} + u_y^{(2)}. \quad (3)$$

При $\delta_1 \neq \delta_2$ ($\omega^2 \neq 4\gamma$) представления (3) компонент тензора напряжений и вектора перемещений являются общими (функции I_j линейно независимы). В случае $\delta_1 = \delta_2 = \delta$ ($\omega^2 = 4\gamma$) функции I_1, I_2 образуют линейно зависимую систему и тогда надо либо построить решение уравнений равновесия, не выражающееся линейно через уже имеющееся решение (построенное с помощью гармонической функции I_1), либо в исходной краевой задаче ($\delta_1 \neq \delta_2$) совершить предельный переход $\delta_2 \rightarrow \delta_1 = \delta$.

Пусть $\langle x, y \rangle, \langle \xi, \theta \rangle$ – исходные декартова и эллиптическая системы координат, связанные соотношениями

$$x = a \operatorname{sh} \xi \sin \theta, \quad y = a \operatorname{ch} \xi \cos \theta \quad (a > 0, 0 \leq \xi < \infty, 0 \leq \theta \leq 2\pi). \quad (4)$$

Уравнение $\xi = \xi_0 = \operatorname{const}$ задает вытянутый вдоль оси Oy эллипс

$$\frac{x^2}{(a \operatorname{sh} \xi_0)^2} + \frac{y^2}{(a \operatorname{ch} \xi_0)^2} = 1. \quad (5)$$

При $\delta_1 \neq \delta_2$ каждую из гармонических функций I_j ($j=1, 2$) будем рассматривать как функцию эллиптических координат ξ_i, θ_i , определя-

емых формулами

$$x_j = x = a_j \operatorname{sh} \xi_j \sin \theta_j, \quad y_j = \delta_j y = a_j \operatorname{ch} \xi_j \cos \theta_j \quad (a_j > 0, 0 \leq \xi_j < \infty, 0 \leq \theta_j \leq 2\pi). \quad (6)$$

Уравнение $\xi_j = \xi_{j0} = \text{const}$ ($j=1, 2$) задает эллипс

$$\frac{x_j^2}{(a_j \operatorname{sh} \xi_{j0})^2} + \frac{y_j^2}{(a_j \operatorname{ch} \xi_{j0})^2} = \frac{x^2}{(a_j \operatorname{sh} \xi_{j0})^2} + \frac{(\delta_j y)^2}{(a_j \operatorname{ch} \xi_{j0})^2} = 1, \quad (7)$$

совпадающий с исходным эллипсом (5) при условии, что

$$a_j \operatorname{sh} \xi_{j0} = a \operatorname{sh} \xi_0, \quad a_j \operatorname{ch} \xi_{j0} = \delta_j a \operatorname{ch} \xi_0 \quad (j=1, 2). \quad (8)$$

Тогда из соотношений (4), (6), (8) следует, что на границах $\xi = \xi_0$, $\xi_j = \xi_{j0}$ эллиптических областей $0 \leq \xi < \xi_0$, $0 \leq \xi_j \leq \xi_{j0}$; $\xi_0 < \xi < \infty$, $\xi_{j0} < \xi_j < \infty$ выполняются равенства

$$\theta_1 = \theta_2 = \theta. \quad (9)$$

Коэффициенты Ляме эллиптических систем координат $\langle \xi, \theta \rangle$, $\langle \xi_j, \theta_j \rangle$ имеют вид

$$H_\xi = H_\theta = ah, \quad h = \sqrt{\operatorname{ch}^2 \xi - \cos^2 \theta}; \quad H_{\xi_j} = H_{\theta_j} = a_j h_j, \quad h_j = \sqrt{\operatorname{ch}^2 \xi_j - \cos^2 \theta_j},$$

а направляющие косинусы единичных внешних нормалей $\vec{n} = n_x \vec{e}_x + n_y \vec{e}_y$, $\vec{n}_j = n_x^{(j)} \vec{e}_x + n_y^{(j)} \vec{e}_y$ к границам (5), (7) эллиптических областей $\xi_0 < \xi < \infty$, $\xi_{j0} < \xi_j < \infty$ определяются формулами

$$n_x = -\frac{\operatorname{ch} \xi_0 \sin \theta}{h_0}, \quad n_y = -\frac{\operatorname{sh} \xi_0 \cos \theta}{h_0}; \quad n_x^{(j)} = -\frac{\operatorname{ch} \xi_{j0} \sin \theta_j}{\delta_j h_{j0}}, \quad n_y^{(j)} = -\frac{\operatorname{sh} \xi_{j0} \cos \theta_j}{h_{j0}}; \quad (10)$$

$$h_0 = \sqrt{\operatorname{ch}^2 \xi_0 - \cos^2 \theta}, \quad h_{j0} = \sqrt{(\delta_j^{-1} \operatorname{ch} \xi_{j0})^2 \sin^2 \theta_j + \operatorname{sh}^2 \xi_{j0} \cos^2 \theta_j}.$$

Из равенств (8), (9) следует, что на граничных линиях $\xi = \xi_0$, $\xi_j = \xi_{j0}$ выполняются соотношения

$$a_1 h_{10} = a_2 h_{20} = ah_0, \quad n_x^{(j)} = n_x, \quad n_y^{(j)} = n_y \quad (j=1, 2). \quad (11)$$

Если на контуре (границе) пластины задан вектор сил $\vec{F} = F_x \vec{e}_x + F_y \vec{e}_y$, то его проекции на оси декартовой системы координат выражаются формулами $F_x = \sigma_x n_x + \tau_{xy} n_y$, $F_y = \tau_{xy} n_x + \sigma_y n_y$. Найдем проекции $F_x^{(j)} = \sigma_x^{(j)} n_x^{(j)} + \tau_{xy}^{(j)} n_y^{(j)}$, $F_y^{(j)} = \tau_{xy}^{(j)} n_x^{(j)} + \sigma_y^{(j)} n_y^{(j)}$ векторов сил $\vec{F}_j = F_x^{(j)} \vec{e}_x + F_y^{(j)} \vec{e}_y$ на границах $\xi_j = \xi_{j0}$, соответствующие частным решениям (1). Используя равенства

$$\begin{aligned}\tau_{xy}^{(j)} &= -\frac{a}{a_j h_j^2} \left(\operatorname{sh} \xi_j \cos \theta_j \frac{\partial I_j}{\partial \xi_j} - \operatorname{ch} \xi_j \sin \theta_j \frac{\partial I_j}{\partial \theta_j} \right), \\ \sigma_x^{(j)} &= -\frac{a \delta_j}{a_j h_j^2} \left(\operatorname{ch} \xi_j \sin \theta_j \frac{\partial I_j}{\partial \xi_j} + \operatorname{sh} \xi_j \cos \theta_j \frac{\partial I_j}{\partial \theta_j} \right), \\ \sigma_y^{(j)} &= -\delta_j^{-2} \sigma_x^{(j)}; \operatorname{ch}^2 \xi_j \sin^2 \theta_j + \operatorname{sh}^2 \xi_j \cos^2 \theta_j = h_j^2,\end{aligned}$$

на основании (3), (8) - (11) получаем простые формулы

$$F_x^{(j)} \Big|_{\xi_j = \xi_{j0}} = \frac{1}{h_0} \frac{\partial I_j}{\partial \xi_j} \Big|_{\xi_j = \xi_{j0}}, \quad F_y^{(j)} \Big|_{\xi_j = \xi_{j0}} = -\frac{1}{\delta_j h_0} \frac{\partial I_j}{\partial \theta_j} \Big|_{\xi_j = \xi_{j0}}; \quad (12)$$

$$F_x \Big|_{\xi = \xi_0} = F_x^{(1)} \Big|_{\xi_1 = \xi_{10}} + F_x^{(2)} \Big|_{\xi_2 = \xi_{20}}, \quad F_y \Big|_{\xi = \xi_0} = F_y^{(1)} \Big|_{\xi_1 = \xi_{10}} + F_y^{(2)} \Big|_{\xi_2 = \xi_{20}}. \quad (13)$$

В предельном случае, когда $\xi_0 = 0$ ($\xi_{j0} = 0$), эллипсы $\xi = \xi_0$, $\xi_j = \xi_{j0}$ вырождаются в один и тот же разрез $x = \pm 0$, $|y| \leq a$, причем

$$a_j = \delta_j a, \quad h_0 = |\sin \theta|. \quad (14)$$

Базисные гармонические функции в координатных системах $\langle x_j, y_j \rangle$, $\langle \xi_j, \theta_j \rangle$ связаны между собой соотношениями

$$\begin{cases} e^{\lambda y_j} \sin \lambda x_j = 2 \sum_{n=1}^{\infty} I_n(a_j \lambda) \operatorname{sh} n \xi_j \sin n \theta_j \quad (0 \leq \xi_j < \infty), \\ e^{-n \xi_j} \sin n \theta_j = n \int_0^{\infty} \lambda^{-1} I_n(a_j \lambda) e^{-\lambda y_j} \sin \lambda x_j d\lambda \quad (y_j > a_j; n = 1, 2, \dots); \end{cases} \quad (15)$$

$$\begin{cases} e^{\lambda y_j} \cos \lambda x_j = I_0(a_j \lambda) + 2 \sum_{n=1}^{\infty} I_n(a_j \lambda) \operatorname{ch} n \xi_j \cos n \theta_j \quad (0 \leq \xi_j < \infty), \\ e^{-n \xi_j} \cos n \theta_j = n \int_0^{\infty} \lambda^{-1} I_n(a_j \lambda) e^{-\lambda y_j} \cos \lambda x_j d\lambda \quad (y_j > a_j; n = 1, 2, \dots), \end{cases} \quad (16)$$

где $I_n(z)$ – модифицированная функция Бесселя; ($j=1, 2$).

Метод получения такого рода соотношений между базисными гармоническими функциями, рассматриваемыми в разных координатных системах, изложен в работе [5].

Разложения (15), (16) в сочетании с методом Фурье и представлениями (1)-(3), (12), (13) позволяют точно удовлетворить граничным условиям основных краевых задач для ортотропной полуплоскости $-\infty < x < \infty$, $-\infty < y < h$ ($h > a$), ослабленной эллиптическим отверсти-

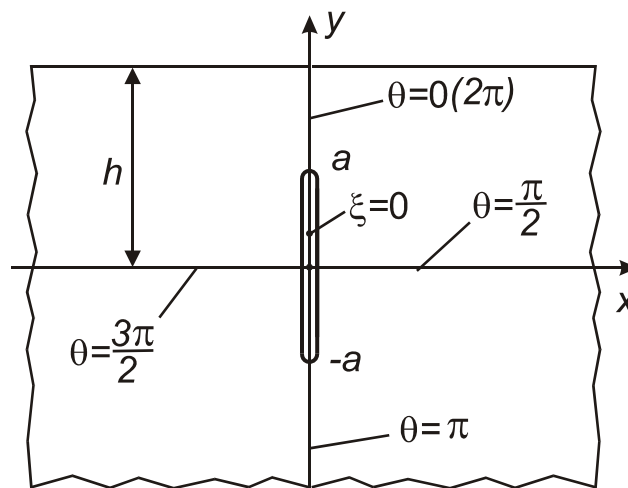
ем $0 \leq \xi < \xi_0$, в частности разрезом (трещиной) $\xi = 0$ ($x = \pm 0, -a < y < a$).

В качестве приложения приведенных общих результатов рассмотрим первую основную краевую задачу для полубесконечной ортотропной пластины $-\infty < x < \infty, -\infty < y < h$ ($h > a$), ослабленной поперечным разрезом $x = \pm 0, -a < y < a$ (рис. 1). Пусть берега этого разреза растягиваются равномерно распределенными нормальными усилиями интенсивности $\sigma_0 = \text{const}$ ($\sigma_0 > 0$), а граничная линия $y = h$ свободна от внешних усилий. В силу симметрии задачи по координате x достаточно удовлетворить граничным условиям

$$F_x|_{\xi=0} = \sigma_0, F_y|_{\xi=0} = 0 \quad (0 \leq \theta < \pi); \quad \sigma_y|_{y=h} = 0, \tau_{xy}|_{y=h} = 0 \quad (0 \leq x < \infty), \quad (17)$$

а гармонические функции I_j ($j=1, 2$) выбрать в виде суммы

$$I_j = \sum_{n=1}^{\infty} A_n^{(j)} e^{-n\xi_j} \sin n\theta_j + \int_0^{\infty} B_j(\lambda) e^{\lambda y_j} \sin \lambda x_j d\lambda \quad (x_j = x). \quad (18)$$



Геометрия пластины

Используя теперь представления (1), (3), (12), (13) и равенства (9), (14), на основании (15), (17), (18) имеем следующие связи между коэффициентами $A_n^{(j)}$ и плотностями $B_j(\lambda)$:

$$\frac{A_n^{(1)}}{\delta_1} + \frac{A_n^{(2)}}{\delta_2} = 0 \quad \left(A_n^{(1)} = -\frac{\delta_1}{\delta_2} A_n^{(2)} \right);$$

$$A_n^{(1)} + A_n^{(2)} = 2 \int_0^{\infty} [B_1(\lambda) I_n(\delta_1 a \lambda) + B_2(\lambda) I_n(\delta_2 a \lambda)] d\lambda + \bar{g}_n; \quad \bar{g}_1 = -\sigma_0, \bar{g}_n = 0 \quad (n=2, 3, \dots);$$

$$\lambda [B_1(\lambda) e^{\delta_1 h \lambda} + B_2(\lambda) e^{\delta_2 h \lambda}] = \sum_{k=1}^{\infty} k [A_k^{(1)} I_k(\delta_1 a \lambda) e^{-\delta_1 h \lambda} + A_k^{(2)} I_k(\delta_2 a \lambda) e^{-\delta_2 h \lambda}];$$

$$\lambda [\delta_2 B_1(\lambda) e^{\delta_1 h \lambda} + \delta_1 B_2(\lambda) e^{\delta_2 h \lambda}] = -\sum_{k=1}^{\infty} k [\delta_2 A_k^{(1)} I_k(\delta_1 a \lambda) e^{-\delta_1 h \lambda} + \delta_1 A_k^{(2)} I_k(\delta_2 a \lambda) e^{-\delta_2 h \lambda}].$$

Исключая здесь $A_n^{(1)}$, $B_1(\lambda)$, $B_2(\lambda)$ и полагая $A_n^{(2)} = \frac{\delta_2 \sigma_0}{\delta_1 - \delta_2} x_n$, для

нахождения величин x_n получаем бесконечную систему линейных алгебраических уравнений

$$x_n = \sum_{k=1}^{\infty} d_{nk} x_k + g_n \quad (n = 1, 2, \dots); \quad (19)$$

$$d_{nk} = \frac{2k}{(\delta_1 - \delta_2)^2} \{(\delta_1 + \delta_2)[\delta_1 S_{nk}^{(11)} + \delta_2 S_{nk}^{(22)}] - 2\delta_1 \delta_2 [S_{nk}^{(12)} + S_{nk}^{(21)}]\},$$

$$S_{nk}^{(ij)} = \int_0^{\infty} \lambda^{-1} e^{-(\delta_i + \delta_j)h\lambda} I_n(\delta_i a \lambda) I_k(\delta_j a \lambda) d\lambda; \quad g_1 = 1, \quad g_n = 0 \quad (n = 2, 3, \dots).$$

На основании неравенства Коши-Буняковского для функций

$$f_n^{(i)}(\lambda) = \lambda^{-\frac{1}{2}} e^{-\delta_i h \lambda} I_n(\delta_i a \lambda) \in L_2(0, \infty), \quad f_k^{(j)}(\lambda) = \lambda^{-\frac{1}{2}} e^{-\delta_j h \lambda} I_k(\delta_j a \lambda) \in L_2(0, \infty)$$

$$\text{имеем } (f_n^{(i)}, f_k^{(j)})^2 \leq \|f_n^{(i)}\|^2 \|f_k^{(j)}\|^2, \quad \|f_n^{(i)}\|^2 = \int_0^{\infty} [f_n^{(i)}(\lambda)]^2 d\lambda = \int_0^{\infty} \mu^{-1} e^{-2h\mu} I_n^2(a\mu) d\mu,$$

$$\|f_k^{(j)}\|^2 = \int_0^{\infty} [f_k^{(j)}(\lambda)]^2 d\lambda = \int_0^{\infty} \mu^{-1} e^{-2h\mu} I_k^2(a\mu) d\mu.$$

С учетом значений интегралов [6]

$$\int_0^a \frac{I_\nu(cx)}{\sqrt{a^2 - x^2}} dx = \frac{\pi}{2} I_{\nu/2}^2\left(\frac{ac}{2}\right), \quad \int_0^{\infty} \mu^{-1} e^{-p\mu} I_\nu(c\mu) d\mu = \frac{c^\nu}{\nu} (p + \sqrt{p^2 - c^2})^{-\nu}$$

получаем последовательно

$$\begin{aligned} I_n^2(a\mu) &= \frac{2}{\pi} \int_0^a \frac{I_{2n}(2\mu x)}{\sqrt{a^2 - x^2}} dx, \quad \|f_n^{(i)}\|^2 = \frac{2}{\pi} \int_0^a \frac{dx}{\sqrt{a^2 - x^2}} \int_0^{\infty} \mu^{-1} e^{-2h\mu} I_{2n}(2x\mu) d\mu = \\ &= \frac{1}{\pi n} \int_0^a \frac{x^{2n} dx}{\sqrt{a^2 - x^2} (h + \sqrt{h^2 - x^2})^{2n}} = \frac{a^{2n}}{\pi n} \int_0^1 \frac{t^{2n} dt}{\sqrt{1-t^2} (h + \sqrt{h^2 - a^2 t^2})^{2n}} < \\ &< \frac{a^{2n}}{\pi n (h + \sqrt{h^2 - a^2})^{2n}} \int_0^1 \frac{t^{2n}}{\sqrt{1-t^2}} dt \leq \frac{a^{2n}}{\pi n (h + \sqrt{h^2 - a^2})^{2n}} \int_0^1 \frac{t^2}{\sqrt{1-t^2}} dt = \\ &= \frac{a^{2n}}{4n (h + \sqrt{h^2 - a^2})^{2n}} = \frac{\varepsilon^{2n}}{4n (1 + \sqrt{1 - \varepsilon^2})^{2n}} \quad \left(\varepsilon = \frac{a}{h} < 1 \right); \end{aligned}$$

$$\|f_n^{(i)}\| < \frac{\varepsilon^n}{2\sqrt{n} (1 + \sqrt{1 - \varepsilon^2})^n}, \quad \|f_k^{(j)}\| < \frac{\varepsilon^k}{2\sqrt{k} (1 + \sqrt{1 - \varepsilon^2})^k};$$

$$S_{nk}^{(ij)} = (f_n^{(i)}, f_k^{(j)}) \leq \|f_n^{(i)}\| \|f_k^{(j)}\| < \frac{\varepsilon^{n+k}}{4\sqrt{nk}(1+\sqrt{1-\varepsilon^2})^{n+k}} \quad (0 < \varepsilon < 1). \quad (20)$$

Поскольку последовательность $\{g_n\} \in \ell_2$, а из оценки (20) следует,

что $\sum_{n,k=1}^{\infty} d_{nk}^2 < \infty$ ($0 < \varepsilon < 1$), то почти для всех значений $\varepsilon \in (0, 1)$ решение

бесконечной системы (19) в гильбертовом пространстве числовых последовательностей ℓ_2 существует, единственно и может быть найдено методом редукции.

Используя значения интеграла [6]

$$\int_0^{\infty} x^{-1} e^{-px} I_{\mu}(bx) I_{\nu}(cx) dx = \frac{b^{\mu} c^{\nu}}{2^{\mu+\nu} \Gamma(\nu+1) p^{\mu+\nu}} \sum_{s=0}^{\infty} \frac{\Gamma(\mu+\nu+2s)}{s! \Gamma(\mu+s+1)} \left(\frac{b}{2p}\right)^{2s} F\left(-s, -\mu-s; \nu+1; \frac{c^2}{b^2}\right)$$

($\Gamma(z)$ – гамма-функция, $F(\alpha, \beta; \gamma; z)$ – гипергеометрическая функция Гаусса) и равенства [7]

$$F\left(-s, -n-s; k+1; \frac{c^2}{b^2}\right) = \sum_{\ell=0}^s \frac{s!(n+s)!k!}{\ell!(s-\ell)!(n+s-\ell)!(k+\ell)!} \left(\frac{c}{b}\right)^{2\ell},$$

$$F(\alpha, \beta; \gamma; 1) = \frac{\Gamma(\gamma)\Gamma(\gamma-\alpha-\beta)}{\Gamma(\gamma-\alpha)\Gamma(\gamma-\beta)} \quad (\gamma \neq 0, -1, -2, \dots; \operatorname{Re}(\gamma-\alpha-\beta) > 0)$$

при $p = (\delta_i + \delta_j)h$, $b = \delta_i a$, $c = \delta_j a$, $\mu = n$, $\nu = k$, $\alpha = -s$, $\beta = -n-s$, $\gamma = k+1$, для величин $S_{nk}^{(ij)}$ получаем разложения в ряды по степеням ε

$$S_{nk}^{(ij)} = \frac{\omega_{ij}^k}{(1+\omega_{ij})^{n+k}} \left(\frac{\varepsilon}{2}\right)^{n+k} \sum_{s=0}^{\infty} \frac{(n+k+2s-1)!}{(1+\omega_{ij})^{2s}} \left(\frac{\varepsilon}{2}\right)^{2s} \sum_{\ell=0}^s \frac{\omega_{ij}^{2\ell}}{\ell!(k+\ell)!(s-\ell)!(n+s-\ell)!},$$

$$S_{nk}^{(ii)} = \left(\frac{\varepsilon}{4}\right)^{n+k} \sum_{s=0}^{\infty} \frac{(n+k+2s-1)! (n+k+2s)!}{s!(n+s)!(k+s)!(n+k+s)!} \left(\frac{\varepsilon}{4}\right)^{2s}; \quad \omega_{ij} = \frac{\delta_j}{\delta_i}.$$

Рассмотрим теперь вопрос о поведении нормальных напряжений вблизи концов разреза $\xi = 0$ ($x = \pm 0$, $-a < y < a$) и вычислении соответствующих коэффициентов интенсивности. Используя представления (1), (3), (18) и учитывая, что $\xi_1 = \xi_2 = \xi$ при $\theta = 0$ ($x = 0, y > a$), $\theta = \pi$ ($x = 0, y < -a$), после некоторых простых операций получаем асимптотические разложения

$$\sigma_x|_{\theta=0} = \frac{\sigma_0}{\text{sh}\xi} \sum_{n=1}^{\infty} n x_n e^{-n\xi} + O(1) \quad (\xi \rightarrow 0 \quad (x=0, y \rightarrow a));$$

$$\sigma_x|_{\theta=\pi} = \frac{\sigma_0}{\text{sh}\xi} \sum_{n=1}^{\infty} (-1)^{n-1} n x_n e^{-n\xi} + O(1) \quad (\xi \rightarrow 0 \quad (x=0, y \rightarrow -a));$$

$$\sigma_y|_{\theta=0} \sim \frac{\sigma_x}{\delta_1 \delta_2} \Big|_{\theta=0}, \quad \sigma_y|_{\theta=\pi} \sim \frac{\sigma_x}{\delta_1 \delta_2} \Big|_{\theta=\pi}; \quad \delta_1 \delta_2 = \sqrt{\frac{E_1}{E_2}}$$

и формулы для вычисления коэффициентов интенсивности нормальных напряжений

$$K_I^{\pm} = \lim_{\xi \rightarrow 0} \left[\sigma_x \sqrt{2(\pm y - a)} \right]_{\theta=\theta^{\pm}} = \sigma_0 \sqrt{a} \sum_{n=1}^{\infty} (\pm 1)^{n-1} n x_n, \quad \theta^{\pm} = \begin{cases} 0 \\ \pi \end{cases}. \quad (21)$$

Оценка (20) гарантирует сходимость рядов в формулах (21).

Решая бесконечную систему (19) методом малого параметра и ограничиваясь при этом членами до порядка $O(\varepsilon^6)$, для величин x_n и коэффициентов K_I^{\pm} получаем значения

$$x_1 = 1 + \frac{(\delta_1 + \delta_2)^2 + 4\delta_1 \delta_2}{8(\delta_1 + \delta_2)^2} \varepsilon^2 + \frac{(\delta_1 + \delta_2)^4 + \delta_1 \delta_2 (5\delta_1^2 + 2\delta_1 \delta_2 + 5\delta_2^2)}{16(\delta_1 + \delta_2)^4} \varepsilon^4 + O(\varepsilon^6),$$

$$x_2 = \frac{(\delta_1 + \delta_2)^2 + 4\delta_1 \delta_2}{32(\delta_1 + \delta_2)^2} \varepsilon^3 + \frac{3(\delta_1 + \delta_2)^4 + 2\delta_1 \delta_2 (7\delta_1^2 + 6\delta_1 \delta_2 + 7\delta_2^2)}{128(\delta_1 + \delta_2)^4} \varepsilon^5 + O(\varepsilon^7),$$

$$x_3 = \frac{(\delta_1 + \delta_2)^4 + 4\delta_1 \delta_2 (\delta_1 - \delta_2)^2}{128(\delta_1 + \delta_2)^4} \varepsilon^4 + O(\varepsilon^6),$$

$$x_4 = \frac{(\delta_1 + \delta_2)^4 + 4\delta_1 \delta_2 (\delta_1^2 - 10\delta_1 \delta_2 + \delta_2^2)}{512(\delta_1 + \delta_2)^4} \varepsilon^5 + O(\varepsilon^7),$$

$$K_I^{\pm} = \sigma_0 \sqrt{a} \left\{ 1 + \frac{(\delta_1 + \delta_2)^2 + 4\delta_1 \delta_2}{8(\delta_1 + \delta_2)^2} \varepsilon^2 \pm \frac{(\delta_1 + \delta_2)^2 + 4\delta_1 \delta_2}{16(\delta_1 + \delta_2)^2} \varepsilon^3 + \right. \\ \left. + \frac{11(\delta_1 + \delta_2)^4 + 4\delta_1 \delta_2 (13\delta_1^2 - 2\delta_1 \delta_2 + 13\delta_2^2)}{128(\delta_1 + \delta_2)^4} \varepsilon^4 \pm \right. \\ \left. \pm \frac{7(\delta_1 + \delta_2)^4 + 16\delta_1 \delta_2 (2\delta_1^2 - \delta_1 \delta_2 + 2\delta_2^2)}{128(\delta_1 + \delta_2)^4} \varepsilon^5 + O(\varepsilon^6) \right\}.$$

В заключение отметим, что разложения (16) позволяют реализовать антисимметричный вариант задачи, а в общем случае разбиение исходной краевой задачи на симметричную и антисимметричную по координате X дает возможность исследовать ее при произвольных граничных условиях на берегах разрезов.

Список использованных источников

1. Космодамианский, А.С. Концентрация внутренней энергии в многосвязных телах [Текст] / А.С. Космодамианский // Прикладная механика.– 2002. – Т.38, № 4.– С.21–48.

2. Немиш, Ю.Н. Развитие аналитических методов в трехмерных задачах статики анизотропных тел (обзор) [Текст] / Ю.Н. Немиш // Прикладная механика.– 2000.– Т.36, № 2.– С.3–38.

3. Соловьев, А.И. Краевые задачи теории упругости для ортотропных пластин, ограниченных координатными линиями декартовой и параболической систем координат [Текст] / А.И. Соловьев // Вопросы проектирования и производства конструкций летательных аппаратов: сб. науч. тр. Нац. аэрокосм. ун-та им. Н.Е. Жуковского “ХАИ”. – Вып. 2 (70). – Х., 2012. – С. 117–127.

4. Соловьев, А.И. О совместном применении декартовых и эллиптических координат к решению краевых задач теории упругости для ортотропных пластин [Текст] / А.И. Соловьев, А.В. Головченко // Открытые информационные и компьютерные технологии: сб. науч. тр. Нац. аэрокосм. ун-та им. Н.Е. Жуковского “ХАИ”. – Вып. 53. – Х., 2012. – С. 101–110.

5. Проценко, В.С. О совместном применении декартовых и биполярных координат к решению краевых задач теории потенциала и теории упругости [Текст] / В.С. Проценко, А.И. Соловьев // Прикладная механика.– 1984. – Т.48, № 6.– С. 973–982.

6. Прудников, А.П. Интегралы и ряды. Специальные функции [Текст] / А.П. Прудников, Ю.А. Брычков, О.И. Маричев. – М.: Наука, 1983. – 752 с.

7. Прудников, А.П. Интегралы и ряды. Дополнительные главы [Текст] / А.П. Прудников, Ю.А. Брычков, О.И. Маричев. – М.: Наука, 1986. – 800 с.

Поступила в редакцию 15.12.2014

*Рецензент: д-р физ.-мат. наук, проф. В.С. Проценко,
Национальный аэрокосмический университет
им. Н.Е. Жуковского «ХАИ», Харьков*